

## II-85 密度差を伴なう水平噴流について

九州大学 工学部 正員 植東一郎  
〃 大学院 学生員 小松 利光

### えまがき

密度差を伴なう二次元水平噴流に於ても、流れは形成領域と確立領域に大別される。確立領域については玉井などの研究があるが、ここでは potential core の概念に基づき、形成領域について若干の考察を加えてみた。

密度  $\rho_0$  の流体が、高さ  $h_0$  の slit から、 $U_0$ なる一様速度で、密度  $\rho_w$  ( $\rho_w > \rho_0$ ) の流体中に噴出する時の流れの様子を模式的に示すと図-I のようである。すなわち流れの形成領域には、厚さ  $\delta$  の potential core が存在し、底層流体との間に流速分布、密度分布が急変する厚さの中間層が存在する。

### 1. 流れを規定する基礎式 基礎式は、

$$\text{連続の式 } \frac{d}{dx} \int_0^\infty u dy = -V \quad \dots (1)$$

$$\text{運動方程式 } \frac{d}{dx} \int_0^\infty \rho u^2 dy = 0 \quad \dots (2)$$

$$\text{質量次積の式 } \frac{d}{dx} \int_0^\infty u (\rho_w - \rho) dy = 0 \quad \dots (3)$$

であるが potential core 内の流速、密度は一様で、 $U_0$ 、 $\rho_0$ 、中間層では相似性を仮定して次式を用いる。

$$U = U_0 f(\eta), \quad (\rho_w - \rho) / (\rho_w - \rho_0) = m(\eta) \quad \eta = \frac{y - \delta}{\delta}$$

$$\text{また、 } \alpha = \int_0^\delta f d\eta, \quad \beta = \int_0^\delta m f d\eta, \quad \gamma = \int_0^\delta f^2 d\eta,$$

$\theta = \int_0^\delta m d\eta$  と定義する。V は下層との境界における鉛直速度で、MORTONによる連行係数の概念により、 $-V = E U_m = E \alpha U_0$  である。また  $\Delta = \delta/h_0$ ,  $H = H/h_0$ ,  $\xi = \xi/h_0$  とすると上記の基礎式は次のようになる。

$$\frac{d\Delta}{d\xi} + \alpha \frac{dH}{d\xi} = \alpha \cdot E \quad \dots (4)$$

$$\Delta + \gamma \cdot H = I \quad \dots (5)$$

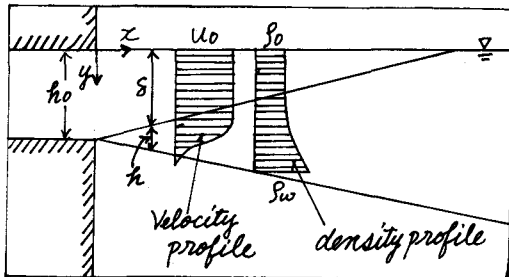
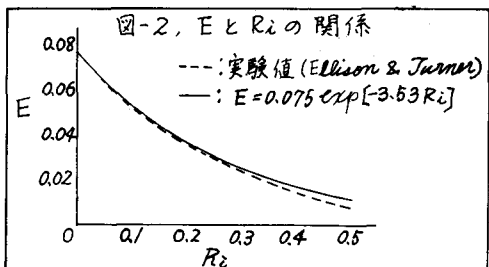


図-I Schematic View



次に Ellison & Turner によると連行係数  $E$  は、図-2 に示すように Richardson 数  $Ri' = \frac{\rho_w - \rho}{\rho_w} \frac{g h}{U_0^2}$  の関数である。 $\rho$  として中間層の平均値ととり、書き直すと

$$Ri' = K \cdot H, \quad K = \frac{\theta}{\alpha - \gamma} \cdot \frac{1}{F_{10}}, \quad F_{10} = \frac{U_0^2}{E_0 g h_0} \quad \dots (6)$$

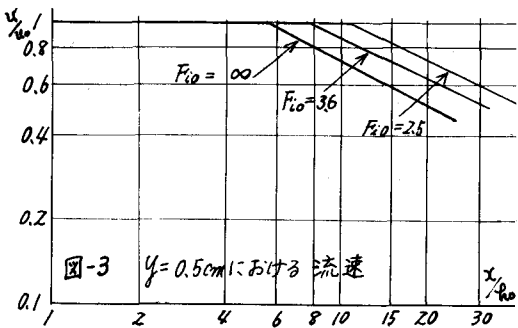
となる。なお計算の便宜の為、図-2 の関係を簡単に次式で表わすことにする。  $E = A e^{-B R i'}$   $\dots (7)$

次に(4),(5)式に(6),(7)式を代入すると

$$\frac{dH}{d\xi} = \frac{\partial}{\partial \xi} \cdot A \cdot \exp(-B K H) \quad \text{となり、} \xi = 0 \text{ で } 0.2$$

$H = 0$  として積分すれば、 $H$  及び  $\alpha$  は次式となる。

$$H = \frac{1}{B K} \cdot \ln \left\{ \frac{\alpha}{\alpha - \gamma} \left[ \frac{A B K}{\alpha - \gamma} \xi + 1 \right] \right\} \quad \dots (8)$$



$$\Delta = 1 - \frac{r}{BK} \ln \left\{ \frac{\alpha}{\alpha-r} ABK \xi + 1 \right\} \quad \cdots (9)$$

従って potential core の長さ  $\xi_L$  は、 $\xi = \xi_L$  で  $\Delta = 0$  とおいて  $\xi_L = \frac{\alpha-r}{\alpha} \cdot \frac{1}{ABK} [\exp(\frac{BK}{r}) - 1] \cdots (10)$   $\Delta$  や  $H$ 、 $\xi_L$  は  $K$  を通じて、 $F_{lo}$  の関数である。

2. 実験は  $F_{lo} = 2cm$ 、出口流速  $U_0 = 10 cm/s$  として密度差を  $(\rho_w - \rho_0)/\rho_0 = 0, 0.004, 0.008$  の 3 通りに変えて行なった。流速の測定には hot film を用いて形成領域にあたる  $F_{lo} = 7$  の地点で、流速及び塩分濃度の垂直分布の測定(図-4)と potential core の長さの変化を調べる為、水面下 5mm における流速の流れ方向の分布の測定を行なった。(図-3) 流速分布について玉井は  $U/U_0 = e^{-2\eta^2}$  を与えているが形成領域では若干やせた形であるので、図-4より中間層での流速分布として、 $U/U_0 = e^{-\eta^2} - 0.36\eta \cdots (11)$  を用い、濃度分布は  $m(\eta) = 1 - \eta^2 \cdots (12)$  で近似する。従って  $\alpha = 0.567, \beta = 0.468, \gamma = 0.410, \theta = 0.667$  また  $E$  と  $R_L$  の関係(7)式は、形成領域では  $0.8R_L < 5$  であると思われる所以、一応  $A = 0.075, B = 3.53$  を用いる。

Potential core の形状を(9)式より計算し、その結果を(図-5)に示す。密度差を伴なわない噴流の  $\xi_L$  は一定

で Albertson らの実験によると、 $\xi_L = 10$  で与えられている。式(9)で  $F_{lo} \rightarrow \infty$  ( $K \rightarrow 0$ ) の場合に相当するが、 $(\xi_L)_{F_{lo}=\infty} = 9.05$  となり、 $F_{lo}$  が減少し、密度の影響が大きい程  $\xi_L$  の値は増加する。これは  $F_{lo}$  が小さくなると底層水の達行が少なく、従って躍層水深の増加も少ないので底面が壁面に近づきやすくなることになり、それで出口流速  $U_0$  が保持される傾向が生じるものと思われる。(図-3)より実験的にも、 $F_{lo}$  が減少するとともに potential core の長さが増加していくことが示されている。また密度差を伴なう場合にも確立領域における最大速度は普通の噴流と同様、ほぼ  $\xi^{-\frac{1}{2}}$  に比例して減少することがわかる。式(8)(9)より求めた躍層水深( $H+\Delta$ )の理論値と和田、片野によつて得られた実験値との比較を図-6、図-7 に示す。躍層水深、平均流速とともに実験値の傾向と良く一致しているが、両者とも理論値がやや小さめである。

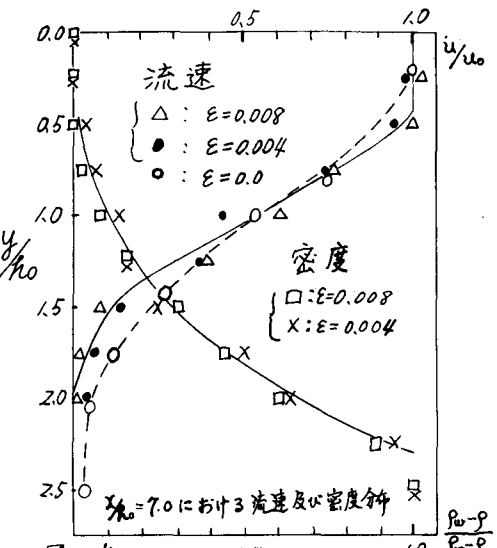


図-4

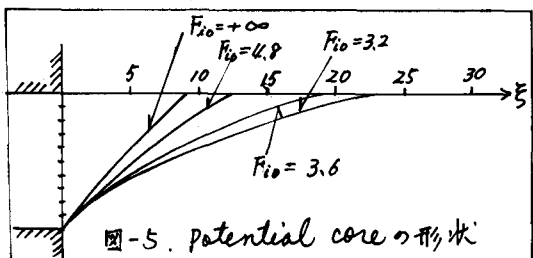


図-5. potential core の形状

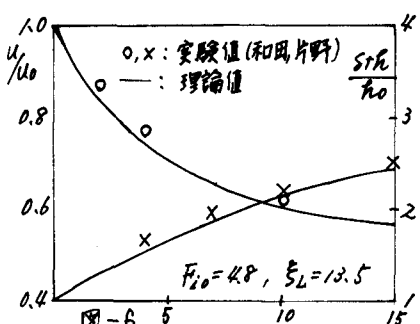


図-6

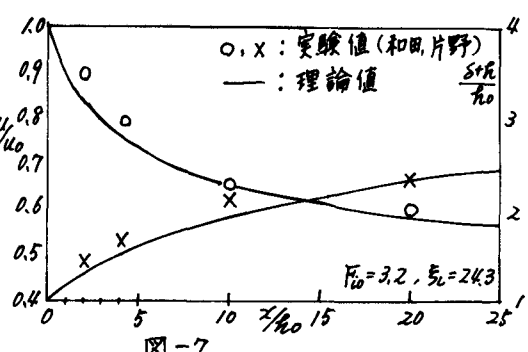


図-7